



# Fitting polinomiali e non polinomiali

Stefano De Marchi

Dipartimento di Informatica  
Università di Verona



## 1. Fitting polinomiali

- 1.1 Interpolazione polinomiale, forma di Lagrange, fenomeno di Runge, costante di Lebesgue, nodi di Fekete e Leja.
- 1.2 Polinomi continui “a tratti”, funzioni splines (polinomiali), Bsplines, interpolazione con splines, smoothing spline.
- 1.3 Approssimazione polinomiale, polinomi di Bernstein.

## 2. Fitting non-polinomiali

- 2.1 Approssimazione ai minimi quadrati, SVD. Minimi quadrati pesati, interpolanti. Schema di Shepard.
- 2.2 Radial Basis Functions.



## 1.1 Interpolazione polinomiale, forma di Lagrange

**Teorema 1** *Dati  $n + 1$  punti distinti  $x_0, \dots, x_n$  e  $n + 1$  valori  $w_i, i = 0, \dots, n$  esiste ed è unico il polinomio di grado  $n$ ,  $p_n(x)$ , tale che*

$$p_n(x_i) = w_i, \quad i = 0, \dots, n.$$

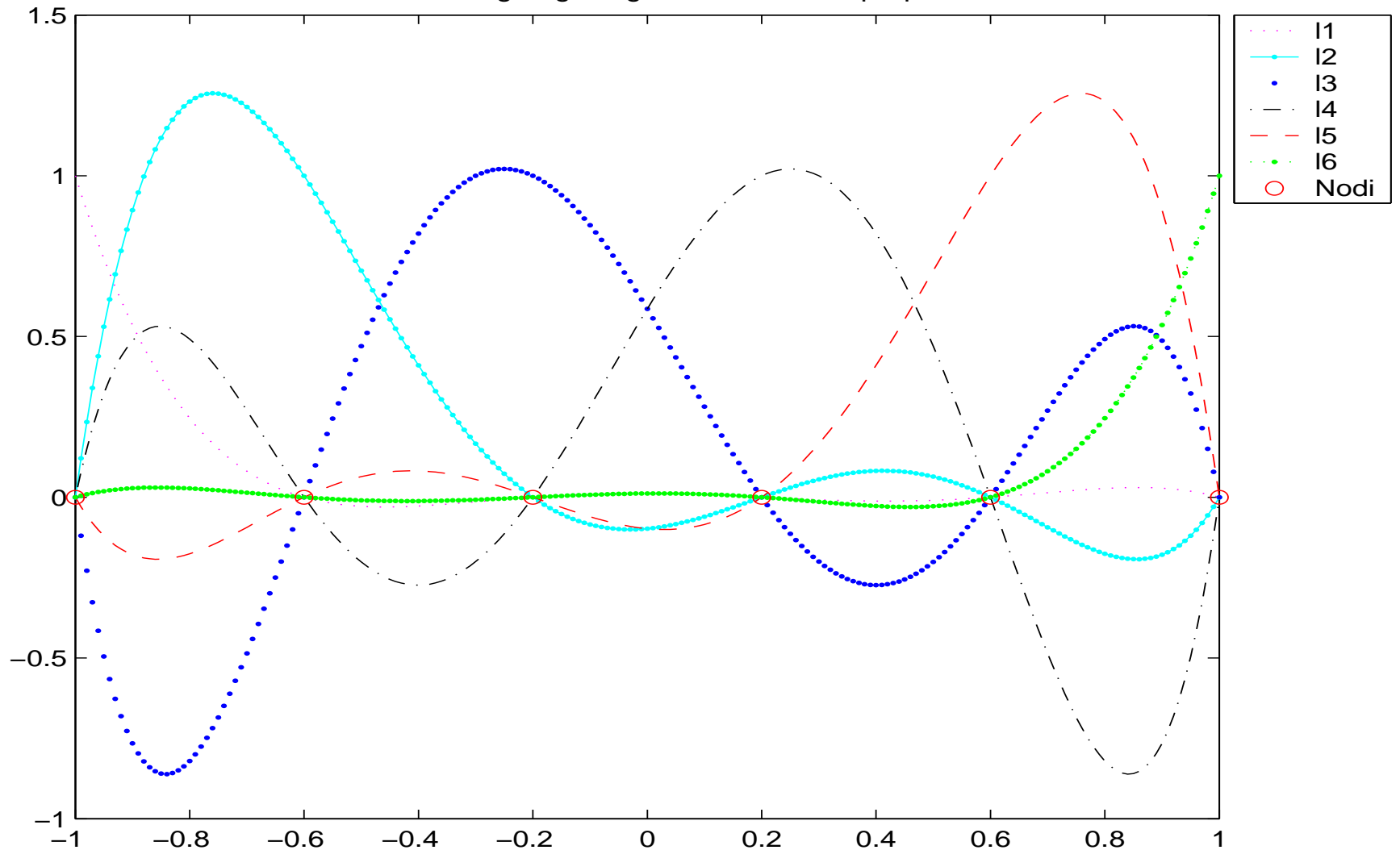
- **Soluzione di un sistema lineare:**  $V\mathbf{a} = \mathbf{w}$  con  $V$  matrice di Vandermonde.
- **Forma di Lagrange:**  $p_n(x) = \sum_{i=0}^n w_i l_i(x)$  con  $l_i(x)$  **polinomi elementari di Lagrange.**

I punti  $x_i, i = 0, \dots, n$  sono detti **nodi d'interpolazione.**

# Polinomi elementari di Lagrange



Polinomi di Lagrange di grado 5 su nodi equispaziati





## Fenomeno di Runge: I

In  $[-1, 1]$  si desidera interpolare la funzione  $g(x) = \frac{1}{1 + 25x^2}$   
su nodi equispaziati:  $x_i = -1 + h i$ ,  $i = 0, \dots, n$ ,  $h = \frac{2}{n}$ .

Scegliamo invece **nodi di Chebyshev**

$$x_i^{(c)} = \cos \left( \frac{(2i - 1) \pi}{2n} \right) \quad i = 0, \dots, n.$$

**Problemi con i nodi!!!!**

**Spiegazione:** formula dell'errore d'interpolazione!

$$|p_n(x) - g(x)| \leq \frac{1}{(n + 1)!} |\omega(x)| \max_{-1 \leq x \leq 1} |g^{(n+1)}(x)|.$$

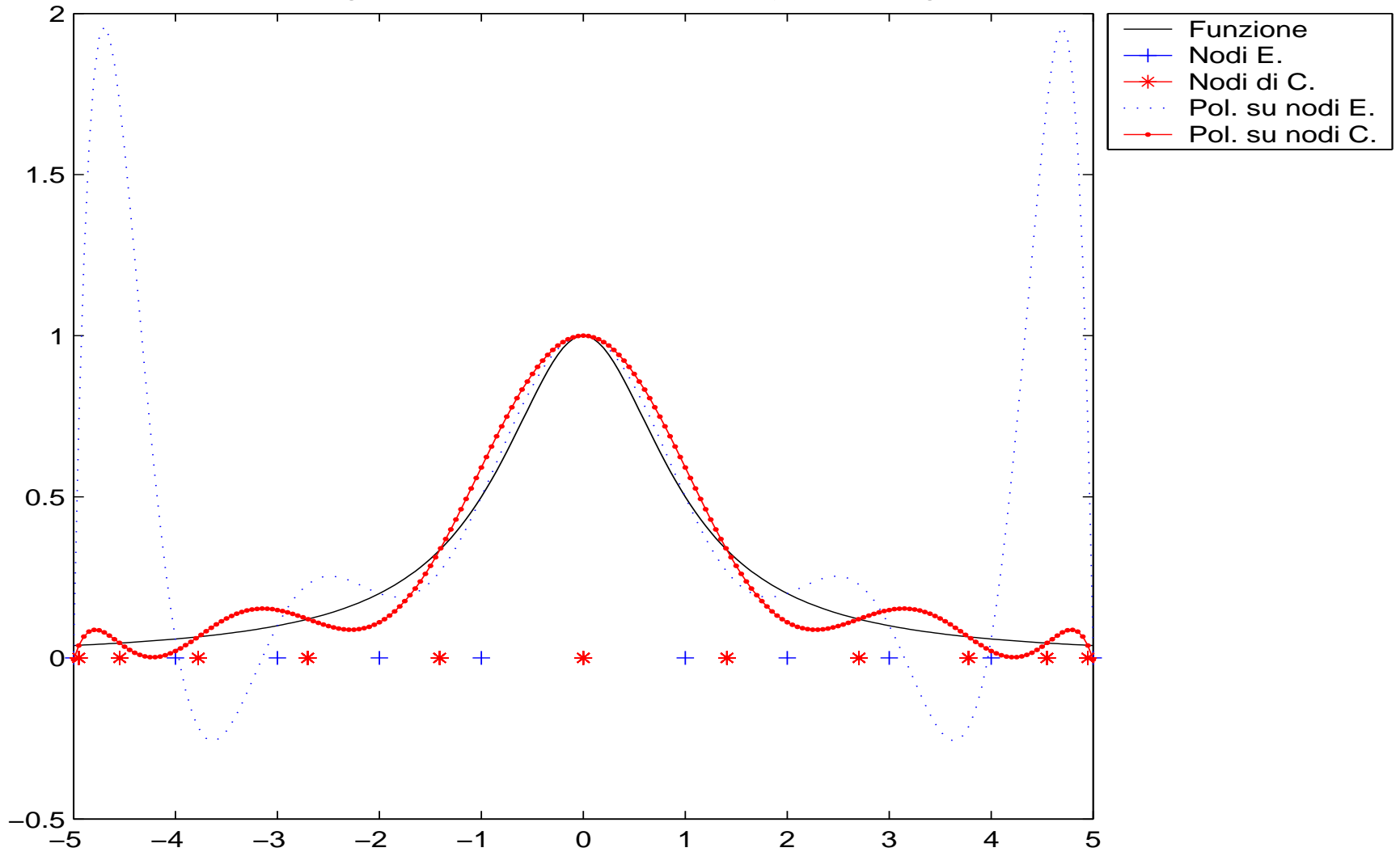
con  $\omega(x) = (x - x_0)(x - x_1) \cdots (x - x_n)$ . Nel caso dei nodi

Chebyshev  $|\omega(x)| \leq \frac{1}{2^n}$  altrimenti è peggiore!

# Fenomeno di Runge: II



Esempio di Runge su nodi equispaziati e di Chebyshev. Pol. grado 10





## Costante di Lebesgue: I

Sia  $X$  un insieme di **nodi** d'interpolazione in  $[-1, 1]$ ,  $\{l_i\}_{i=0, \dots, n}$  i polinomi elementari di Lagrange,

$$\Lambda_n = \max_{-1 \leq x \leq 1} \sum_{i=0}^n |l_i(x)|$$

è la **costante di Lebesgue**.

È la norma dell'operatore  $L_n : \mathcal{C}[-1, 1] \rightarrow \mathbb{P}_n$  e misura la bontà dell'approssimazione di una certa funzione  $f$  con il polinomio  $L_n f$ .

$$T = \left\{ x_k = \cos \left( \frac{(2k+1)\pi}{2(n+1)} \right), \quad k = 0, 1, \dots, n \right\},$$

sono le ascisse di Chebyshev.



Bernstein (1918) aveva provato che asintoticamente

$$\Lambda_n(T) \sim \frac{2}{\pi} \log(n+1), \quad n \rightarrow \infty.$$

Lutmann e Rivlin (1965) **computazionalmente** provarono che

$$\Lambda_n(T) = \lambda_n(T; 1) = \sum_{k=0}^n |l_k(1)|. \text{ Sapendo che}$$
$$\lambda_n(T; 1) = \frac{1}{n+1} \sum_{k=0}^n \cot \left( \frac{(2k+1)\pi}{4(n+1)} \right) \text{ si stabilì che}$$

$$\lim_{n \rightarrow \infty} \left( \lambda_n(T; 1) - \frac{2}{\pi} \log(n+1) \right) := a_0 = 0.9625\dots$$

Infine Ehlich e Zeller (1966) ottennero la stima

$$a_0 + \frac{2}{\pi} \log(n+1) < \Lambda_n(T) \leq 1 + \frac{2}{\pi} \log(n+1)$$





## Punti di Fekete: I

**I punti di Fekete.** <sup>a</sup> Il problema da cui si prese spunto è il seguente. Si considerino  $n$  masse unitarie  $n \geq 2$  nei punti variabili  $x_1, \dots, x_n$  di  $[-1, 1]$ .

**Problema 1** *Per quali posizioni di questi punti l'espressione*

$$\prod_{i \neq j; i, j=1}^n (x_j - x_i) \quad (1)$$

*diventa massima?*

---

<sup>a</sup>Mihály Fekete (1886-1957), determinò questi punti nel 1923.



## Punti di Fekete: II

Fejér (1932) provò che i punti di Fekete, si ottengono come soluzione del seguente problema:

Trovare l'insieme  $F$ , non necessariamente unico, che **minimizza** la funzione

$$\Phi_n(X) = \max_{-1 \leq x \leq 1} \sum_{k=0}^n l_k^2(X; x) .$$

Fejér provò che per i punti di Fekete  $\sum_k l_k^2(x) \leq 1$  da cui

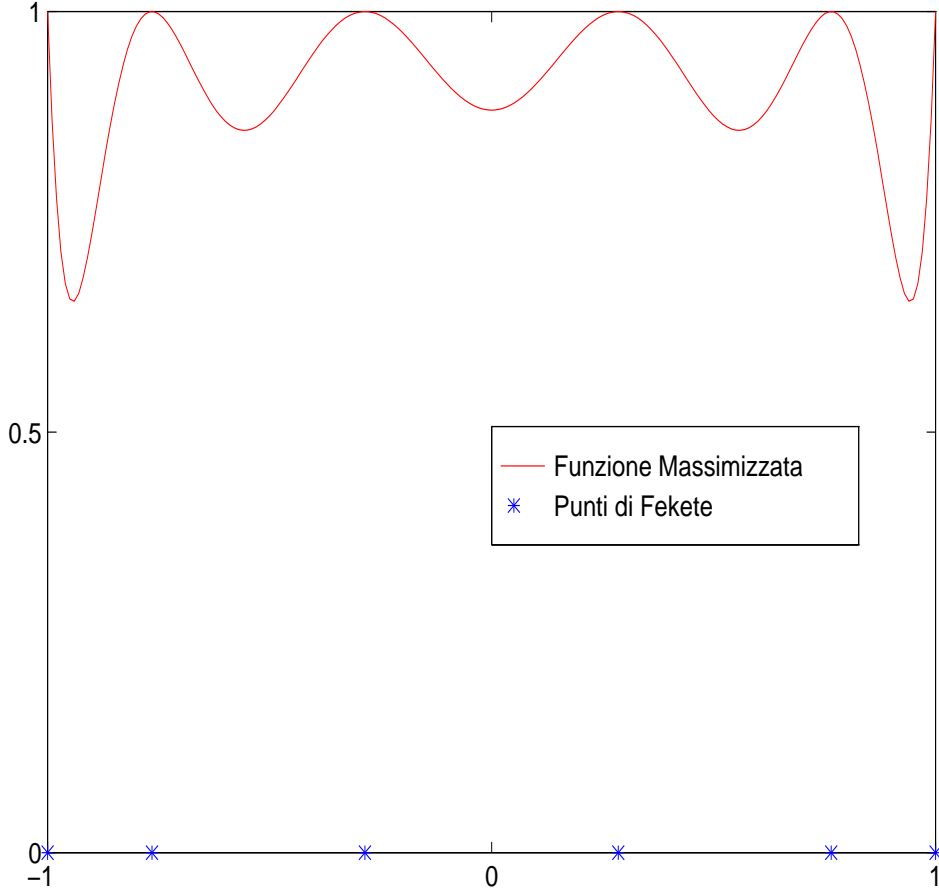
$$\Phi_n(F) = 1, \quad \Lambda_n(F) \leq \sqrt{n+1} .$$

**Esempio:** per **n=5** i punti di Fekete sono:  $\pm 1, 0, \pm 0.65466$ ; quelli di Chebyshev sono:  $\pm 0.95106, 0, \pm 0.58779$ ;

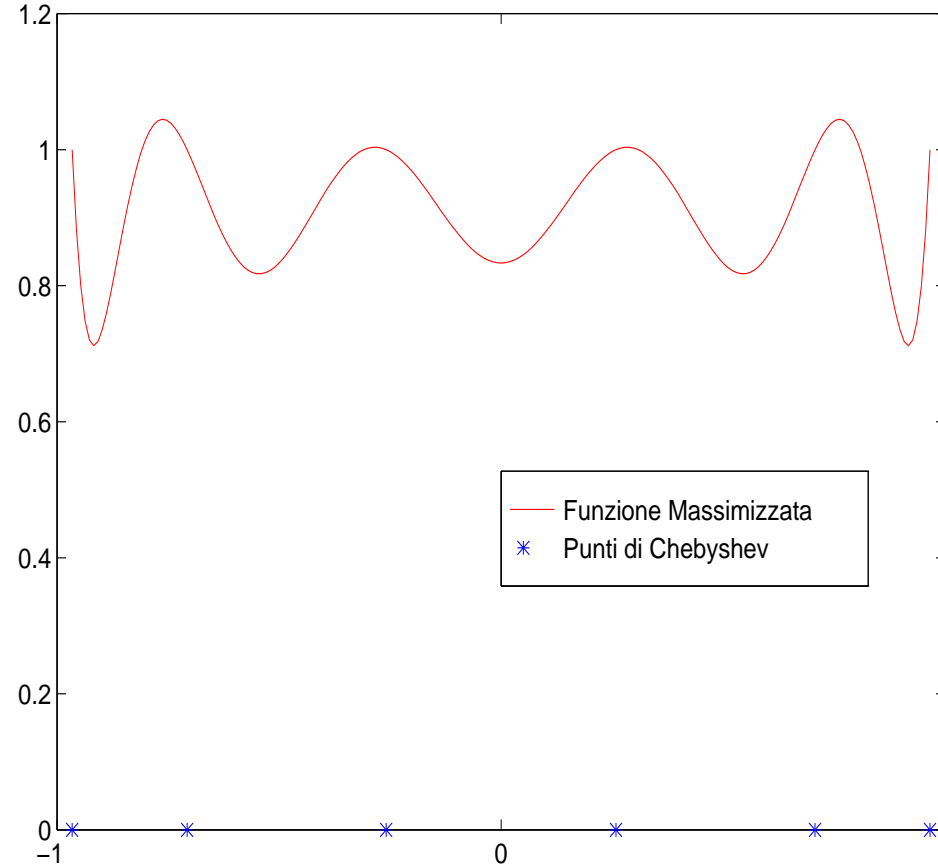


# Punti di Fekete: III

Punti di Fekete. Numero punti = 6



Punti di Chebyshev. Numero punti = 6





## Punti di Fekete: IV

Lutmann e Rivlin **numericamente** calcolarono  $\Lambda_n(F)$  per  $n=3, \dots, 40$  e **congettarono** le seguenti proprietà (non ancora provate!) per l'insieme  $F$ .

- $\Lambda_n(F) < \Lambda_n(T), \quad n \geq 4.$
- I massimi relativi di  $\lambda_n(F; x)$  su  $[f_i, f_{i+1}]$  decrescono in  $[0, 1]$  e perciò

$$\Lambda_n(F) \quad \text{in } x = 0 \quad n \text{ pari}$$

$$\Lambda_n(F) \quad \text{in } x \approx 0 \quad n \text{ dispari}$$

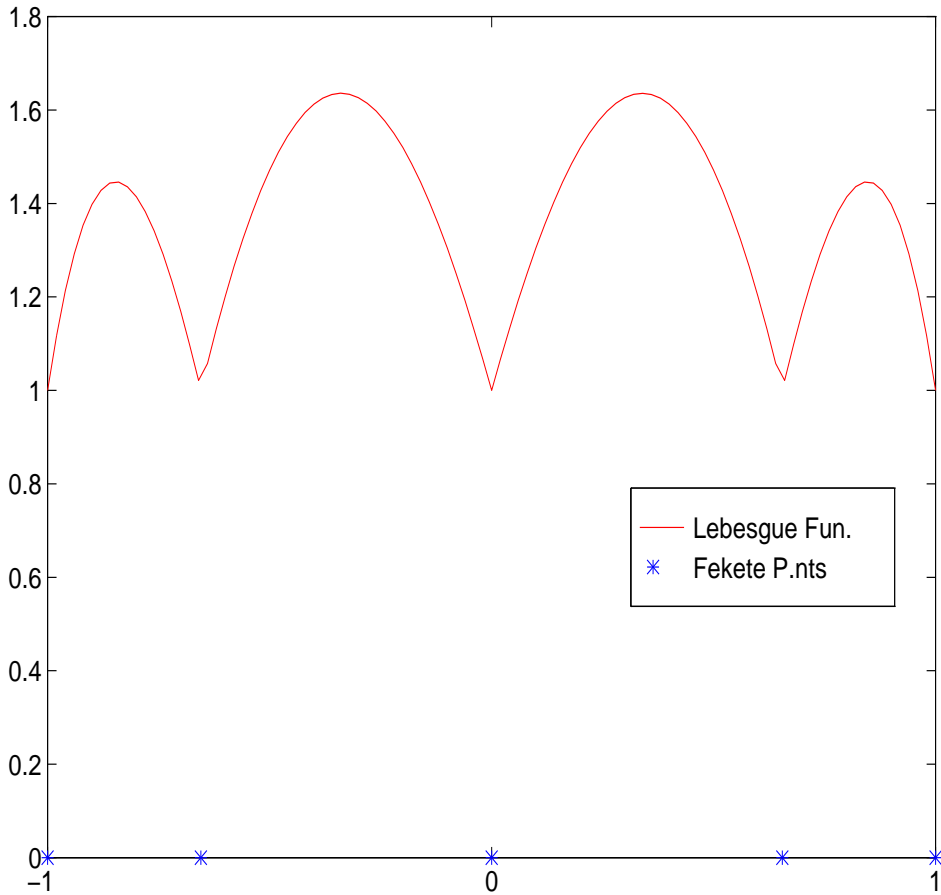
Infine Sundermann (1983) provò

$$\Lambda_n(F) = \mathcal{O}(\log(n))$$

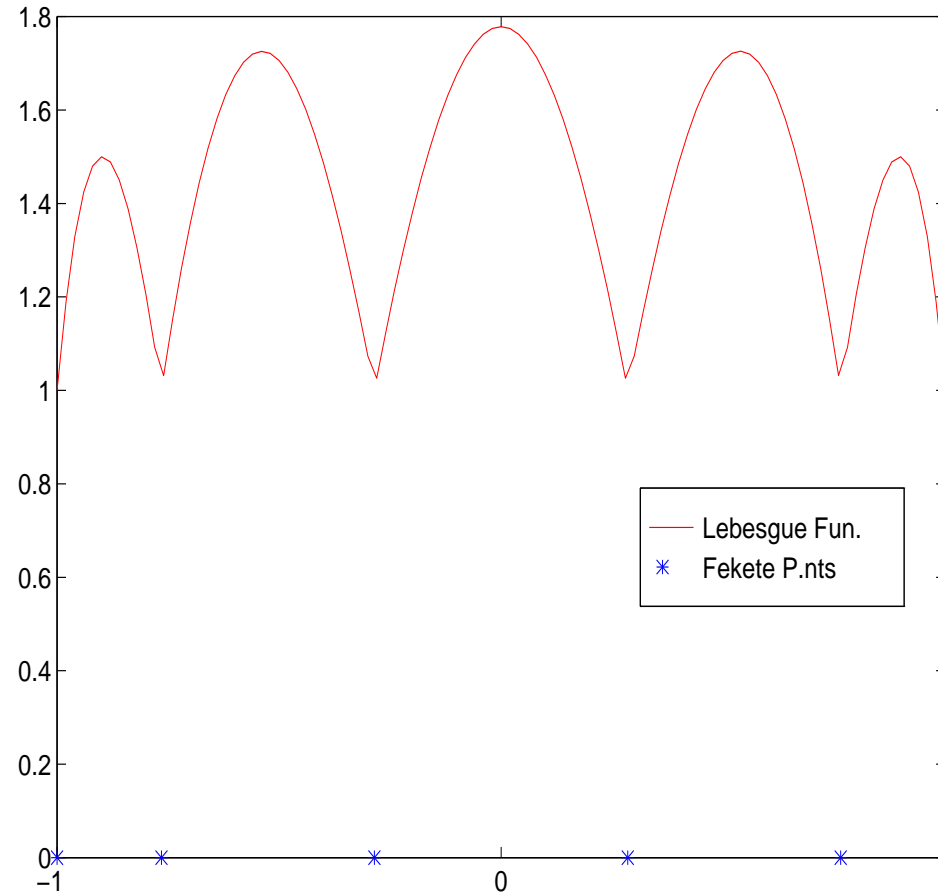


# Punti di Fekete: V

Fekete's points = 5



Fekete's points = 6



## Alcune proprietà dei punti di Fekete



1. Sono zeri di  $(x^2 - 1)P'_n(x)$  con  $P_n(x)$  pol. di Legendre di grado  $n$ .
2. Sono definibili su ogni compatto in ogni dimensione.
3. Sono i punti che *massimizzano il modulo del determinante di Vandermonde*.
4.  $\Lambda_n = \mathcal{O}(\log(n)) \Rightarrow \lim_{n \rightarrow \infty} \Lambda_n^{\frac{1}{n}} = 1$
5. Sia  $E$  un insieme compatto, allora

$$\lim_{n \rightarrow \infty} |VDM(f_1, \dots, f_n)|^{\frac{2}{n(n-1)}} = \rho(E)$$

ove  $\rho(E) = \lim_{n \rightarrow \infty} (M_n(E))^{\frac{1}{n}}$  con

$M_n(E) = \max_E |T_n(x; E)|$  è la **costante di Chebyshev** detta

anche **diametro transfinito o capacità di E**.



## Sequenze di Leja: I

Sia  $E$  compatto  $E \subset \mathbb{C} \approx \mathbb{R}^2$ . F. Leja (Ann. Pol. Math. 4, 1957) propose una sequenza di punti **estremali**.

Scelto  $\lambda_1 \in E$ .  $\lambda_2$  è tale che  $|\lambda_2 - \lambda_1| = \max_{z \in E} |z - \lambda_1|$ . Quindi  $\lambda_3$   $|(\lambda_3 - \lambda_2)(\lambda_3 - \lambda_1)| = \max_{z \in E} |z - \lambda_1| |z - \lambda_2|$  e in generale

$$|(\lambda_{n+1} - \lambda_n) \cdots (\lambda_{n+1} - \lambda_1)| = \max_{z \in E} \prod_{k=1}^n |z - \lambda_k|.$$

Poiché la funzione  $\Phi(z) = \prod_{k=1}^n (z - \lambda_k)$  è analitica, per il *principio del massimo per funzioni analitiche* tutti i punti  $\{\lambda_p\}$  (eccetto  $\lambda_1$  al più) appartengono al bordo di  $E$ .



1. I punti  $\{\lambda_i\}$  possono essere *estratti* da una discretizzazione di  $[a, b]$  e anche in modo rapido “fast Leja points” di Baglama & al., ETNA (1998);
2.  $\{\lambda_i\}$  è una sequenza stabile per l'interpolante in forma di Netwon (cf. Reichel, BIT (1990));
3. sequenze di Leja su  $[a, b]$ , come pure i punti di Chebyshev, Fekete hanno asintoticamente la distribuzione dell' **arcocoseno**.





## Punti di Leja e Fekete

Sono legati dalla massimizzazione di  $VDM(X_n)$  su un *fissato* insieme  $X_n = \{x_1, \dots, x_n\} \in E$ .

- $F_n = \{f_1, \dots, f_n\}$  sono quelli che *globalmente*  $\max_{X_n \in E} |VDM(X_n)|$ .
- $|VDM(X_n)| = \prod_{i=1}^{n-1} |x_n - x_i| \cdot |VDM(X_{n-1})|$ , l'  $n$ -esimo punto di Leja risolve (localmente) il problema  $\max_{x \in E} \prod_{i=1}^{n-1} |x - x_i|$ .

$F_n$  e  $L_n$  permettono di minimizzare **la costante di Lebesgue** poiché minimizzano il valore dei

$$l_i(x) = \frac{VDM(X_n^{(i)})}{VDM(X_n)},$$

con  $X_n^{(i)}$  l'insieme  $X_n$  ove  $x_i$  è considerata al posto di  $x_n$ .



## 1.2 Polinomi continui “a tratti”

**Idea:** Limitare il grado del polinomio di interpolazione aumentando la flessibilità dell'interpolante.

**Esempio di polinomi continui a tratti:** interpolazione lineare.

Dati i valori  $w_i$ ,  $i = 0, 1, \dots, n$ , l'interpolante lineare nell' $i$ -esimo intervallino  $[x_i, x_{i+1}]$  è

$$s(x) = \frac{(x_{i+1} - x)w_i + (x - x_i)w_{i+1}}{x_{i+1} - x_i} .$$

**Generalizziamo .....**

**Definizione 1**  $s$  è un polinomio continuo a tratti in  $[a, b]$  di grado  $k$  se

$s \in \mathcal{C}[a, b]$  e se esistono dei punti  $\xi_i$ ,  $i = 0, \dots, n$

$a = \xi_0 < \xi_1 < \dots < \xi_n = b$  cosicché  $s$  è un polinomio di grado  $\leq k$  su ciascun intervallino  $[\xi_i, \xi_{i+1}]$ ,  $i = 0, \dots, n - 1$ .



**Definizione 2** Si dice che  $s$  è una funzione spline di grado  $k$  se oltre ad essere un polinomio di grado  $k$  è  $\mathcal{C}^{k-1}[a, b]$ . In tal caso i punti  $\xi, i = 1, \dots, n - 1$  vengono detti *nodi* (interni).

**Notazione:**  $\mathcal{S}(k; \xi_0, \xi_1, \dots, \xi_n)$  è lo spazio lineare delle splines di grado  $k$ .

Una spline si può scrivere

$$s(x) = \sum_{j=0}^k c_j x^j + \frac{1}{k!} \sum_{j=1}^{n-1} d_j (x - \xi_j)_+^k, \quad x \in [a, b].$$

La funzione  $(x - \xi_j)_+^k$  si chiama **potenza troncata**.

Ci sono  $k + n$  parametri ( $c_j$  e  $d_j$ ) che implica che lo spazio delle splines di grado  $k$  ha dimensione  $n + k$ .



**Esempio:** splines cubiche ( $k = 3$ ) (le più usate).

**Ordine di approssimazione:** se  $f \in \mathcal{C}^{k+1}[a, b]$  e se  $n$  (numero nodi) è variabile, allora si prova che

$$\min_{s \in \mathcal{S}(k; \xi_0, \xi_1, \dots, \xi_n)} \|f - s\| = \mathcal{O}(h^{k+1})$$

con  $h = \max_{1 \leq i \leq n-1} |\xi_{i+1} - \xi_i|$ .

**Base dello spazio:** **B-splines**.



Sia  $\{x_1, x_2, \dots, x_n\}$  (o  $\{x_i\}_{i=-\infty}^{+\infty}$ ) una sequenza finita (o infinita) crescente di numeri reali ( $x_i < x_{i+1}$ ), detti *nod*i che per ora assumiamo **distinti**.

**Definizione 3** *La  $i$ -esima B-Spline di ordine  $k$ , che si indica con  $B(x; x_i, \dots, x_{i+k})$  (grado  $k - 1$ ) è la  $k$ -esima differenza divisa della funzione  $p(t, x) = (t - x)_+^{k-1}$*

$$\mathbf{B}(\mathbf{x}; \mathbf{x}_i, \dots, \mathbf{x}_{i+k}) = (\mathbf{x}_{i+k} - \mathbf{x}_i) \mathbf{p}[\mathbf{x}_i, \dots, \mathbf{x}_{i+k}](\mathbf{x}),$$

dove  $p[\cdot](x)$  è la  $k - \text{esima}^a$  differenza divisa su  $x_i, x_{i+1}, \dots, x_{i+k}$  di  $p(\cdot, x)$  vista come funzione di  $x$ .

**==>** Per capire meglio, farsi l'esempio nel caso di  $k = 2$  (B-splines lineari).



### Proposizione 1 Proprietà.

- $B_{i,k}(x) = 0$  se  $x \notin (x_i, x_{i+k}]$ .
- $B_{i,k} > 0$  nel suo supporto  $[x_i, x_{i+k})$
- $\forall x \in \mathbb{R}, \sum_{i=-\infty}^{\infty} B_{i,k}(x) = 1$  o equivalentemente

$$\int_{\mathbb{R}} B_{i,k}(x) dx = 1 .$$

Le B-splines sono quindi *a supporto compatto* e *positive* e formano *partizione dell'unità*.



Si basa sulla **regola di Steffensen** per la differenza divisa del prodotto di due funzioni  $f$  e  $g$ .

**Proposizione 2** Siano  $f$  e  $g$  due funzioni sufficientemente differenziabili e i punti  $x_1 \leq \dots \leq x_{n+1}$  siano dati. Allora

$$(f \cdot g)[x_1, \dots, x_{n+1}] = \sum_{j=1}^{n+1} f[x_1, \dots, x_j]g[x_j, \dots, x_{n+1}] \quad (2)$$



Le B-splines soddisfano la ricorrenza (utile ai fini computazionali!):

$$B_{i,l}(x) = \left( \frac{x_i - x}{x_{i+l} - x_i} + 1 \right) B_{i+1,l-1}(x) + \left( \frac{x - x_i}{x_{i+l} - x_i} \right) B_{i,l-1}(x) .$$

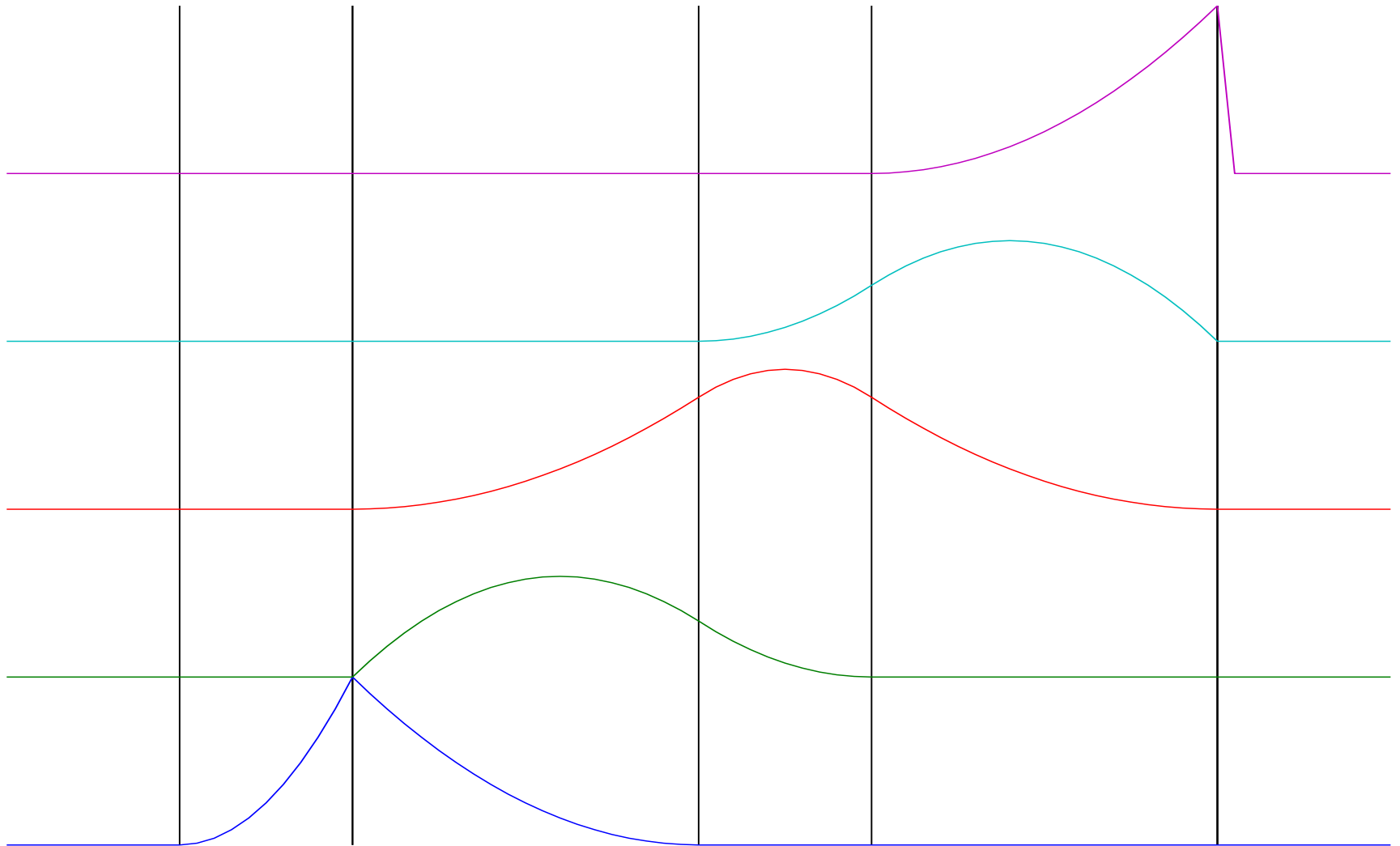
$l$  indica l'**ordine** (= grado +1),  $i$  l'indice di intervallo. La relazione si innesca a partire da  $B_{i,1}(x) = 1$  se  $x \in [\xi_i, \xi_{i+1}]$ .



# Bsplines di ordine 3 (quadratiche)



All quadratic B-splines for the knot sequence [0 1 1 3 4 6 6 6]



## Interpolazione con funzioni spline: I



Sia  $f(x)$  una funzione nota su  $x = t_1, x = t_2, \dots, x = t_m$ . Si desidera interpolarla per mezzo di una spline  $S(x)$  di ordine  $n$  (grado  $n-1$ ) con prescritti *nodi interni*  $x_1, \dots, x_{N-1}$ . Inoltre  $t_1 < t_2 < \dots < t_m$  e

$$t_1 < x_1 < x_2 < \dots < x_{N-1} < t_m .$$

I parametri da determinare sono

$$N + n - 1$$

che verranno determinati dalle condizioni

$$S(t_j) = f(t_j), \quad j = 1, \dots, m . \quad (**)$$



I. J. Schoenberg e A. Whitney (1953) hanno dimostrato che *esiste un'unica* soluzione del problema **se e solo se**

$$\begin{aligned} t_1 &< x_1 < t_{n+1} \\ t_2 &< x_2 < t_{n+2} \\ &\vdots \\ t_{N-1} &< x_{N-1} < t_m \end{aligned} \tag{3}$$

**Osservazione.** Non sono richieste informazioni circa le derivate finali. In tal caso il problema d'interpolazione è trattato come un normale problema di interpolazione polinomiale.

## Interpolazione con funzioni spline: III



Possiamo scrivere  $S(x) = \sum_{i=1}^m c_i B_i(x)$ , dove  $B_i$  sono B-spline di ordine  $n$  con nodi interni la sequenza  $x_1, \dots, x_{N-1}$ . Perciò (\*\*\*) diventa

$$\sum_{i=1}^m c_i B_i(t_j) = f(t_j), \quad j = 1, \dots, m. \quad (4)$$

ovvero, in forma matriciale,  $Ac = \mathbf{f}$

Costruiamo le B-spline  $B_i$ ,  $i = 1, \dots, m$ . Aggiungiamo dapprima  $2n$  nodi aggiuntivi:

$$x_{1-n}, \dots, x_0 \leq t_1; \quad x_{1-n} < x_{2-n} < \dots < x_0 .$$

$$t_m \geq x_N, x_{N+1}, \dots, x_{N+n-1};$$

$$x_N > x_{N+1} > \dots > x_{N+n-1} .$$



**Nota.** I  $2n$  nodi addizionali possono essere presi **coincidenti** (Carrasso, Laurent 1969).

Per la proprietà delle B-spline di avere supporto minimo cioè

$$B_{i,n}(x) = \begin{cases} > 0 & x_{i-n} \leq x < x_i \\ = 0 & \text{altrimenti} \end{cases}$$

si ha che la matrice  $A$  ha **al più**  $n$  elementi diversi da zero per ogni riga. Non solo, tale matrice è anche **stocastica** (somma x righe = somma x colonne = 1)



# Interpolazione con funzioni spline: V

**Esempio 1**  $N = 6, n = 4$  (spline cubiche) con nodi

$$a = t_1 < t_2 < x_1 < t_3 < x_2 < x_3 < t_4 < t_5 < t_6 < x_4 < t_7 < t_8 < x_5 < t_9 = b .$$

La matrice  $A$  ( $N + n - 1$ ),  $9 \times 9$  sarà :

$$A = \begin{bmatrix} \times & & & & & & & & \\ \times & \times & \times & \times & & & & & \\ & \times & \times & \times & \times & & & & \\ & & & \times & \times & \times & \times & & \\ & & & \times & \times & \times & \times & & \\ & & & \times & \times & \times & \times & & \\ & & & & \times & \times & \times & \times & \\ & & & & \times & \times & \times & \times & \\ & & & & & & & & \times \end{bmatrix}$$



**Shannon's sampling theory:** dato un segnale limitato in banda  $s(x)$  esso può essere ricostruito dai suoi campionamenti

(**Nyquist rate**)  $s_k$  mediante  $s(x) = \sum_{k \in \mathbb{Z}} s_k \text{sinc}(x - k)$  .

**Nota:**  $\text{sinc}(0) = 1$ ,  $\text{sinc}(k) = 0$ ,  $k \in \mathbb{Z} \setminus \{0\}$ . Nel caso discreto tale campionamento da stime poco accurate.

**In alternativa**, si possono usare **spline cardinali** e relative **Bplines cardinali**. Bpline cardinali di ordine  $n$  si ottengono facendo la convoluzione  $n + 1$  volte di

$\beta^0(x) = 1$ ,  $|x| < 1/2$ ,  $\beta^0(x) = 0.5$ ,  $|x| = 1/2$  e altrove 0.

$\lim_{n \rightarrow \infty} \beta^n(x) = \text{sinc}(x)$ .

$$s(x) = \sum_{k \in \mathbb{Z}} s_k \beta^n(x - k) .$$

Tale scelta è più smooth e meno costosa computazionale- Corso di dottorato, 20-21 Ottobre 2003 - p.31/6

# Smoothing spline



**Smoothing**: è l'altro modo di fare **data fitting** con spline.

**Problema 2** Siano dati i punti  $(x_i, y_i)$ ,  $i = 1, \dots, n$  con  $y_i = f(x_i)$ .

Trovare la funzione  $f$  che **minimizza**

$$\sum_{i=1}^n (y_i - f(x_i))^2 + \alpha \int_{x_1}^{x_n} (f^{(p)}(x))^2 dx .$$

La risultante curva è un polinomio continuo a tratti di grado  $2p - 1$ . Il primo termine misura la vicinanza della funzione di fitting dai dati. Il secondo **penalizza** la curvatura della funzione e  $\alpha$  il collegamento tra i due termini. Se  $0 < \alpha < \infty$ , **Schoenberg** provò che tale  $f$  è la **spline naturale** di grado  $2p - 1$ . Se  $\alpha = 0$ ,  $f$ =interpolante polinomiale;

**Nota**: i dati sono assunti del tipo **segnale+rumore**

$$y_i = f(x_i) + \epsilon_i, \quad \epsilon_i \approx N(0, \sigma^2), \quad i = 1, \dots, n .$$



## 1.3 Approssimazione polinomiale e polinomi di Bernstein



Si consideri l'intervallo  $[a, b] = [0, 1]$ . Sia inoltre  $k$  (grado) fissato. La base di B-spline sulla sequenza di nodi

$$t_0 = \dots = t_k = 0, \quad t_{k+1} = \dots = t_{2k+1} = 1,$$

$B_{i,k}$ ,  $i = 0, 1, \dots, k$  sono polinomi di grado  $k$  su  $[0, 1]$  che verificano la ricorrenza:

$$B_{i,k}(x) = xB_{i,k-1}(x) + (1-x)B_{i+1,k-1}(x),$$

che è quella delle B-spline con le opportune sostituzioni. Sono detti *Polinomi di Bernstein* di grado  $k$  e si denotano con  $B_i^k(x)$  o  $\beta_i^k(x)$ .



## Teorema 2 (*Teorema di Weierstraß*)

Sia  $f \in \mathcal{C}[a, b]$ . Dato  $\epsilon > 0$  è sempre possibile trovare un polinomio  $p_n(x)$  (di grado sufficientemente grande) tale che

$$|f(x) - p_n(x)| \leq \epsilon, \quad \forall x \in [a, b].$$

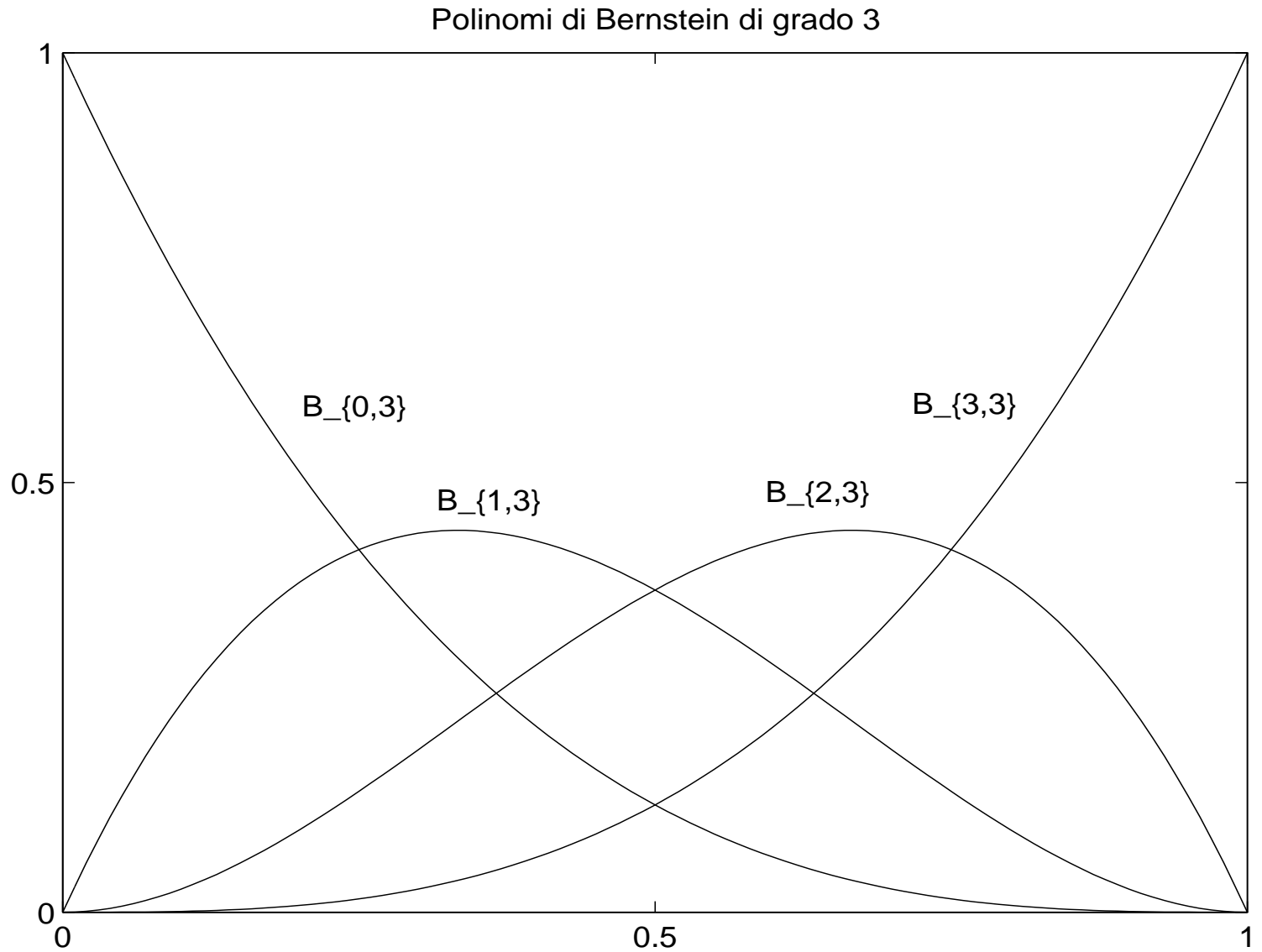
**Definizione 4** Sia  $f$  definita su  $[0, 1]$ . Il **polinomio di Bernstein di grado  $n$  associato ad  $f$**  è

$$B_n(f; x) = \sum_{k=0}^n f\left(\frac{k}{n}\right) \binom{n}{k} x^k (1-x)^{n-k}.$$

Nota:  $B_n(f; 0) = f(0)$ ,  $B_n(f; 1) = f(1)$  (“quasi” interpolante).

$\beta_k^{(n)} = \binom{n}{k} x^k (1-x)^{n-k}$  **polinomi elementari di Bernstein.**

# Polinomi di Bernstein di grado 3





**Teorema 3** (di Bernstein) Sia  $f(x)$  limitata in  $[0,1]$ . Allora

$$\lim_{n \rightarrow \infty} B_n(f; x) = f(x)$$

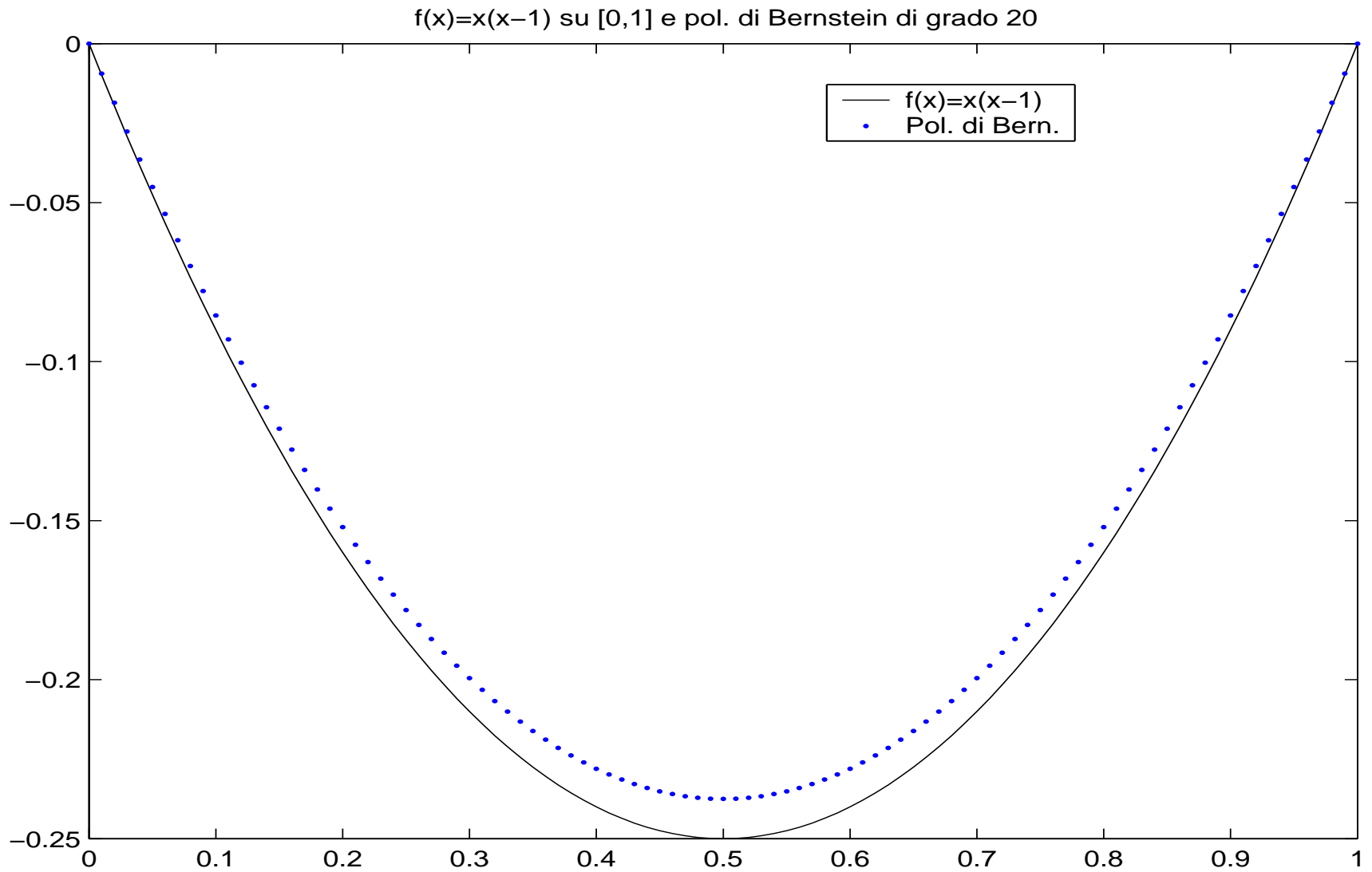
su ogni punto  $x \in [0, 1]$  dove  $f$  è continua. Se inoltre  $f \in \mathcal{C}[0, 1]$  allora il limite vale uniformemente.

Come corollario a questo teorema possiamo ottenere il **Teorema di Weierstraß**.

**Corollario 1** Se  $f \in \mathcal{C}[0, 1]$ , allora per ogni  $\epsilon > 0$  e per  $n$  sufficientemente grande

$$|f(x) - B_n(f; x)| \leq \epsilon \quad \forall x \in [0, 1] .$$

# Approssimazione con operatori di Bernstein





Sia  $t \in [\alpha, \beta] \subset \mathbb{R}$  il parametro di una curve parametrica e  $P_0, P_1, \dots, P_{n-1}$ ,  $n$  punti del piano.

1. La **curva Bspline** di ordine  $m$  associata al **poligono di controllo** individuato dai punti  $P_i$  è la curva

$$S(t) = \sum_{i=0}^{n-1} P_i B_{i,m}(t), \quad t \in [\alpha, \beta].$$

2. La **curva di Bézier** di grado  $n - 1$  associata al **poligono di controllo** individuato dai punti  $P_i$  è la curva

$$S(t) = \sum_{i=0}^{n-1} P_i B_i^{n-1}(t), \quad t \in [\alpha, \beta].$$



## 2.1 Approssimazione ai minimi quadrati e SVD

**Problema:** Dati  $n + 1$  punti  $(x_i, f_i), i = 0, \dots, n$  trovare un polinomio di grado  $m \leq n$  (in generale  $m \ll n$ ) t.c. siano **minime** le deviazioni (errori)  $p(x_i) - f_i, i = 0, \dots, n$ .

**Soluzione:** Si consideri il funzionale quadratico

$$\begin{aligned} E(p) &= \sum_{i=0}^n |p(x_i) - f_i|^2 = \sum_{i=0}^n (p(x_i) - f_i)^2 \\ &= \sum_{i=0}^n \{a_0 + a_1 x_i + \dots + a_m x_i^m - f_i\}^2 . \end{aligned}$$

**Nota.** Il funzionale  $E(p)$  dipende dai coefficienti del polinomio  $p$ , cioè da  $a_0, \dots, a_m$ : scriveremo perciò  $E(a_0, \dots, a_m)$ .



## Unicità della soluzione: I

Come noto, condizione necessaria affinché si raggiunga il minimo è che

$$\frac{\partial E}{\partial a_j} = 0, \quad j = 0, \dots, m. \quad (*)$$

Le condizioni (\*) si riscrivono sotto forma di sistema detto delle **(equazioni normali)**

$$B\mathbf{a} = \mathbf{z},$$

con  $B = (b_{ij})_{i,j=0}^{m+1}$  matrice simmetrica  $(m+1) \times (m+1)$  tale che  $b_{ij} = \sum_{i=0}^n x_i^{i+j-2}$  e il vettore colonna  $\mathbf{z}$  tale che  $z_i = \sum_{j=0}^n x_j^{i-1} f_j$ . **Nota:** gli elementi di  $B$  dipendono solo dalla base (polinomiale)  $\{1, x, x^2, \dots\}$  e dai nodi  $x_i$  ma non di valori  $f_i$ .



## Unicità della soluzione: II

**Teorema 4** Supponiamo  $x_0, \dots, x_n$  distinti e  $m \leq n$ . Allora **esiste ed è unico** il polinomio  $p$ ,  $\deg(p) \leq m$  in cui  $E(p)$  è minimo.

I coefficienti  $a_0, \dots, a_m$  sono determinati risolvendo  $B\mathbf{a} = \mathbf{z}$ .

- Dal teorema segue che *le equazioni normali (\*) sono anche una condizione sufficiente per l'esistenza della soluzione.*
- Considerata la matrice  $A$  di elementi  $a_{i,j} = x_i^j$ ,  $i = 0, \dots, n$ ,  $j = 0, \dots, m$  e il vettore  $\mathbf{f} = (f_0, \dots, f_n)$  allora  $B = A^T A$ ,  $\mathbf{z} = A^T \mathbf{f}$  e le equazioni normali diventano

$$A^T A \mathbf{a} = A^T \mathbf{f}$$

che è sistema simmetrico e semidefinito positivo.

## Soluzione ai minimi quadrati di sistemi sovradeterminati con SVD: I

Dato il sistema  $Ax = b$  con  $A$ ,  $m \times n$ ,  $x$ ,  $n \times 1$  e  $b$ ,  $m \times 1$  e  $m > n$ . *Tale sistema in generale non ha soluzione unica.* Una soluzione approssimata si ha cercando quel  $x$  tale sia minima

$$\|Ax - b\|_p, \quad p = 1, 2, \infty.$$

**Definizione 5** La soluzione  $x^*$  di

$$\min_{x \in \mathbb{R}^n} \|Ax - b\|_2 \quad (5)$$

si chiama la soluzione ai **minimi quadrati del sistema**  $Ax = b$ .

Per la soluzione del problema si fa uso della **decomposizione ai valori singolari di A**.





**Teorema 6** Data  $A, m \times n, m \geq n$  matrice di **reali**. Definiamo  $z = U^T x, c = V^T b$ . Allora la soluzione  $x^* = U z^*$  del problema di  $\min_{x \in \mathbb{R}^n} \|Ax - b\|_2$  è data da

$$z_i^* = \frac{c_i}{\mu_i}, \quad i = 1, \dots, r$$

con  $z_{r+1}^*, \dots, z_n^*$  arbitrari. Se  $r = n, x^*$  è unica. Quando  $r < n$  **la soluzione ai minimi quadrati** è quella con  $z_i^* = 0, i = r + 1, \dots, n$ .

In tal caso il minimo vale

$$\|Ax^* - b\|_2 = \left( \sum_{j=r+1}^m c_j^2 \right)^{1/2} .$$



Definiamo la matrice  $n \times m$ ,

$$F^+ = \begin{bmatrix} \mu_1^{-1} & 0 & \dots & 0 \\ & \ddots & & \\ \vdots & & \mu_r^{-1} & \\ & & 0 & \\ & & & \ddots \\ 0 & \dots & & 0 & \dots & 0 \end{bmatrix}$$

e quindi  $A^+ = UF^+V^T$ . Allora

$$x^* = Uz^* = UF^+c = UF^+V^Tb = A^+b.$$

La matrice  $A^+$  è detta **inversa generalizzata di A** e produce la soluzione ai *minimi quadrati* del sistema  $Ax = b$ .



**Nota.** Usando la SVD abbiamo anche ( $rg(A) = n$ ):

$$\|A\|_2 = \sqrt{\rho(A^T A)} = \mu_1, \quad \kappa(A)_2 = \|A\| \|A^+\| = \frac{\mu_1}{\mu_n}.$$

**Equazioni normali:**  $A^T A x = A^T b$ . **SVD:**  $A = V F U^T$ ,  
sostituiamo nelle equazioni normali e abbiamo

$$U F^T F U^T x = U F^T V^T b$$

moltiplico per  $U^T$  ricordando che  $z = U^T x$ ,  $c = V^T b$ .

Otteniamo

$$F^T F z = F^T c$$

che stabilisce l'equivalenza delle equazioni normali alla  
minimizzazione di  $\|Ax - b\|_2$ .



Il funzionale che si considera è:

$$E_x(p) = \sum_{i=0}^n w_i(x) [p(x_i) - f_i]^2$$

dove  $w_i(x)$  sono funzioni peso *positive*.

**Come scegliere tali funzioni peso?**

- Positive e relativamente grandi quando  $|x_i - x| < \epsilon, \forall \epsilon > 0$ .
- Positive e relativamente piccole quando  $|x_i - x| > \epsilon, \forall \epsilon > 0$ .



Il sistema (\*) delle **equazioni normali** ora è tale che

$b_{ij} = \sum_{i=0}^n w_i(x) x_i^{i+j-2}$  e il vettore colonna  $z$  tale che

$$z_i = \sum_{j=0}^n w_j(x) x_j^{i-1} f_j.$$

Il corrispondente Teorema di esistenza e unicità è:

**Teorema 7** Esiste un unico polinomio  $\hat{p} = \sum_{i=0}^m \hat{a}_i x^i$  di grado  $\leq m$  che minimizza il funzionale  $E_x(p)$ .

**Nota:** I coefficienti  $\{\hat{a}_i\}$  dipendono da  $x$ . Ciò implica che dovremo risolvere un sistema di equazioni normali per **ogni** punto  $x$ . Per tale motivo questo metodo si applica solo per valori **piccoli** di  $m$ .





## MLS: scelta delle funzioni peso $w_i(x)$

Consideriamo  $e^{-x^2}$ . È decrescente per  $x \geq 0$ .

Dato un generico intervallo  $[a, b]$  si può considerare  $e^{-\frac{x^2}{4(b-a)}}$ .

Perciò possibili scelte sono:

$$w_i(x) = \exp \left\{ -\frac{(x - x_i)^2}{4(b - a)} \right\},$$

$$w_i(x) = \exp \left\{ -\frac{(x - x_i)^2}{50} \right\},$$

$$w_i(x) = \exp \left\{ -\frac{(x - x_i)^2}{20} \right\}.$$

==> mls.m



## MLS: minimi quadrati interpolanti

Si desidera che la risultante curva **interpoli** i punti dati. Ad esempio, se  $w_i(x) = \exp \left\{ -\frac{(x-x_i)^2}{20} \right\}$  i pesi saranno “grandi” sui punti  $x$  vicini a  $x_i$  e “piccoli” su punti lontani. Perciò il trucco è di prendere pesi tali da essere  $\infty$  in  $x_i$ . Ciò suggerisce funzioni peso del tipo:

$$w_i(x) = \frac{1}{(x - x_i)^2}, \quad w_i(x) = \frac{1}{(x - x_i)^4}$$

oppure

$$w_i(x) = \frac{e^{-(x-x_i)^2}}{(x - x_i)^2},$$

e quest'ultima si comporta come  $1/(x - x_i)^2$  in un intorno di  $x = x_i$ .

## Criteri di scelta delle funzioni peso



- in relazione alle ascisse: maggiore o minore rapporto di “attenuazione”;
- interpolazione sí o no;
- natura della singolarità in  $x = x_i$ ;
- supporto locale.

L'ultima richiesta (supporto locale) è soddisfatta prendendo

$$w(x) = \begin{cases} \frac{a}{x^k} \left(1 - \frac{|x|}{d}\right)^2 & |x| \leq d \\ 0 & |x| > d \end{cases}$$

in tal caso  $(-d, d)$  è il supporto e  $a$  è un parametro di scalatura.



## Schema di Shepard: I

Il supporto deve essere tale da contenere  $m + 1$  punti e la curva approssimante  $g(x)$  ristretta a  $[x-d, x+d]$  può essere definita come un polinomio di grado  $m$ .

Il caso  $m = 0$  è noto come *schema di SHEPARD*.

In tal caso le equazioni normali si riducono ad una sola equazione (da risolversi per ogni  $x!$ ):

$$a_0(x) = \frac{\sum_{i=0}^n w_i(x) f_i}{\sum_{i=0}^n w_i(x)} .$$



## Schema di Shepard: II

Se  $w(x) = 1/x^k$ ,  $k > 0$  allora Shepard provò che

- (i)  $0 < k < 1$  la curva interpolante ha una cuspidine nei punti di interpolazione fuori è  $C^\infty$ ,
- (ii)  $k = 1$  la curva ha degli angoli nei punti  $x_i$ ;
- (iii)  $k > 1$  essa è globalmente  $C^1$  (fenomeno “flat-spot”).

Sia  $g(x)$  la risultante curva: allora in (i) e (ii) cioè  $0 < k \leq 1$ ,  $g$  interpola  $g(x_i) = f_i$ , ma non è differenziabile.

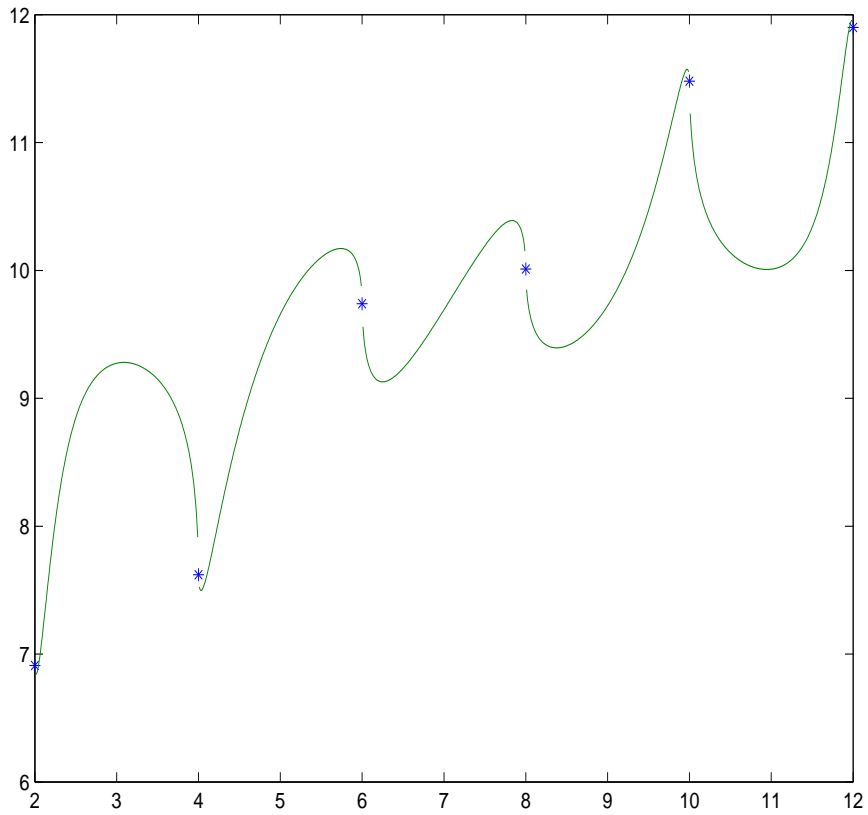
Se infine  $w_i(x) \equiv 1$  (cioè  $k = 0$ ) allora

$$a_0(x) = \frac{\sum_{i=0}^n f_i}{m+1}.$$

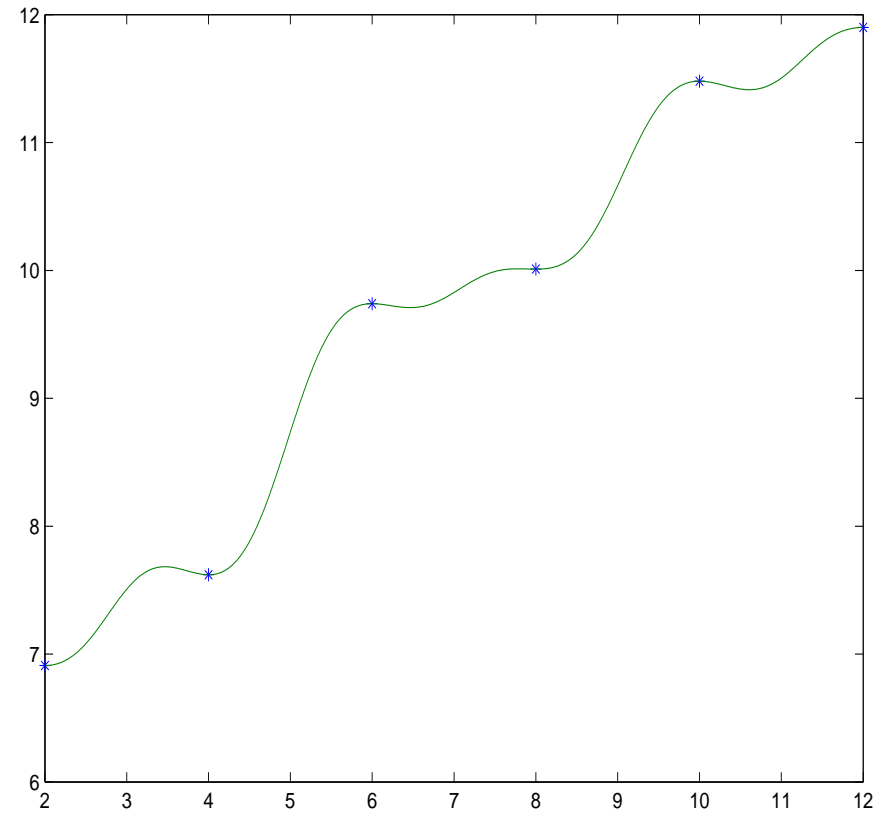
# Shepard



Metodo di Shepard, peso  $1/(x-x_i)^k$ ,  $k = 0.6$



Metodo di Shepard, peso  $1/(x-x_i)^k$ ,  $k = 2$



## 2.2 Radial Basis Functions: RBF I



Sia  $\Omega \subset \mathbb{R}^d$  aperto, limitato e non vuoto.

- $X = \{x_1, \dots, x_N\} \subseteq \Omega$ ,  $N$  punti distinti (*data sites*,  $X$  è detto *point set*).
- $\{f_1, \dots, f_N\}$ : i *valori*.

**Problema d'interpolazione con RBF:** fissa una *funzione di base*  $\phi : [0, \infty) \rightarrow \mathbb{R}$ , l'interpolante  $s_{f,X}$  to  $f$  at  $X$  è un elemento dello spazio

$$\mathcal{S}_{\phi,X} = \text{span}\{\phi(\|\cdot - x\|) : x \in X\} + \mathbb{P}_m^d$$

che soddisfa le condizioni

$$s_{f,X}(x_j) = f_j, \quad j = 1, \dots, N \quad (*)$$

# RBF II



Una soluzione del problema consiste nel risolvere il sistema lineare

$$\sum_{j=1}^N \alpha_j \phi(\|x_k - x_j\|) + \sum_{l=1}^Q \beta_l p_l(x_k) = f_k, \quad k = 1, \dots, N$$

con le ulteriori condizioni  $\sum_{j=1}^N \alpha_j p_l(x_j) = 0$ ,  $l = 1, \dots, Q$ , dove  $p_1, \dots, p_Q$  sono una base di  $\mathbb{P}_m^d$ ,  $Q = \binom{m-1+d}{d}$ .

La matrice  $(N + Q) \times (N + Q)$ ,  $\begin{pmatrix} A_{\phi, X} & P_X \\ P_X^T & 0 \end{pmatrix}$  con  $A_{\phi, X} = (\phi(\|x_k - x_j\|))$  e  $P_X = (p_l(x_k))$  è invertibile sse valgono (cf.

Micchelli *Const. Approx.* 1986)  $p(x_k) = 0, k = 1, \dots, N \Rightarrow p \equiv 0, \forall p \in \mathbb{P}_m^d$ :

$\phi$  è detta essere **CPD**.





# Ancora su: CPD

**Definizione** Sia  $A_{\Phi, X} := (\Phi(x_i, x_j))_{1 \leq i, j \leq N}$  invertibile.  $\Phi$  è detta un kernel **CPD di ordine  $m$**  su  $\Omega$ , se e solo se per ogni scelta di  $X = \{x_1, \dots, x_N\} \subseteq \Omega$  di  $N$  punti distinti la forma quadratica

$$\alpha^T A_{\Phi, X} \alpha = \sum_{i, j}^N \alpha_j \alpha_k \Phi(x_j, x_k)$$

è positiva (non negativa) e inoltre il vettore

$\alpha = (\alpha_1, \dots, \alpha_N) \in \mathbb{R}^N \setminus \{0\}$  è tale che

$$\sum_{j=1}^N \alpha_j p(x_j) = 0, \quad \forall p \in \mathbb{P}_m^d.$$

In generale  $\Phi(x, y) = \phi(\|x - y\|)$ , cosicchè  $\Phi : \Omega \times \Omega \rightarrow \mathbb{R}_+$ .



# Il caso PD

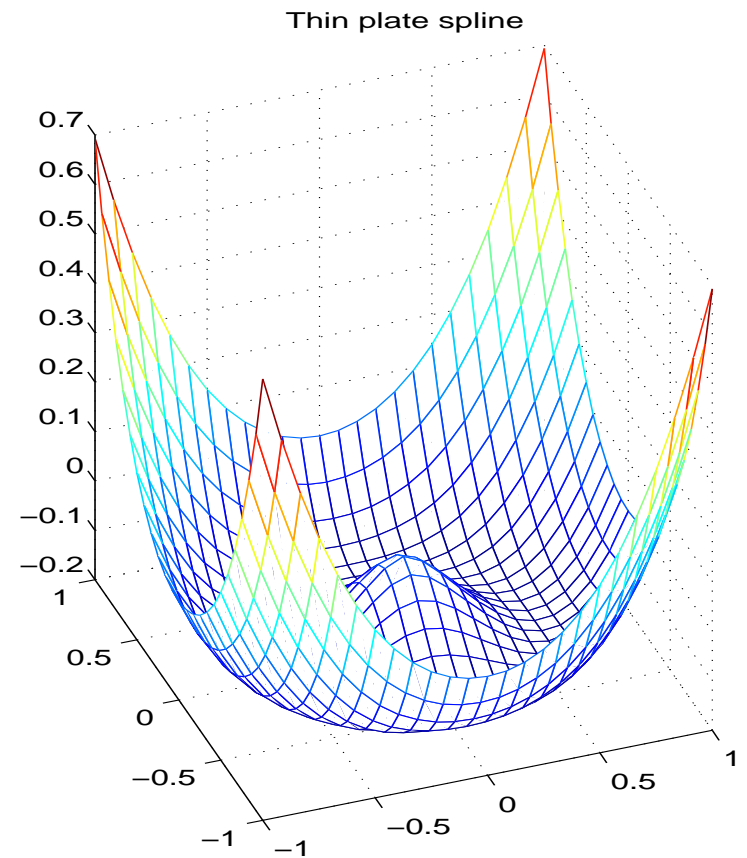
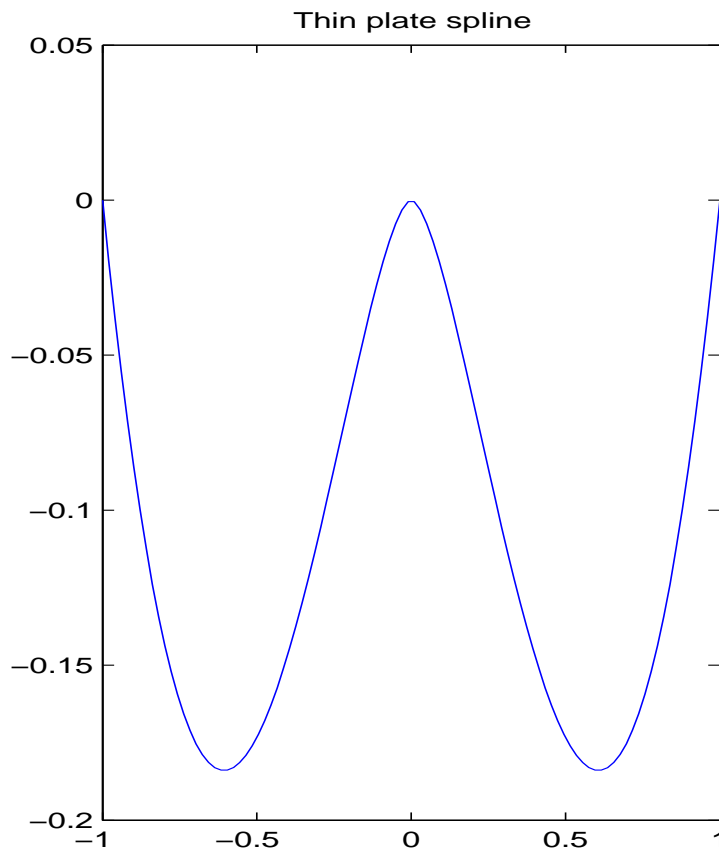
Se  $A_{\Phi, X}$  è *definita positiva*  $\forall X \subseteq \Omega$ , allora  $\Phi$  è chiamato **kernel PD**, cioè **CPD di ordine  $m=0$** .

$\Rightarrow$  Si noti che *ogni kernel CPD ha un associato kernel PD normalizzato* .  $\Leftarrow$



# RBF in 1D e 2D: I

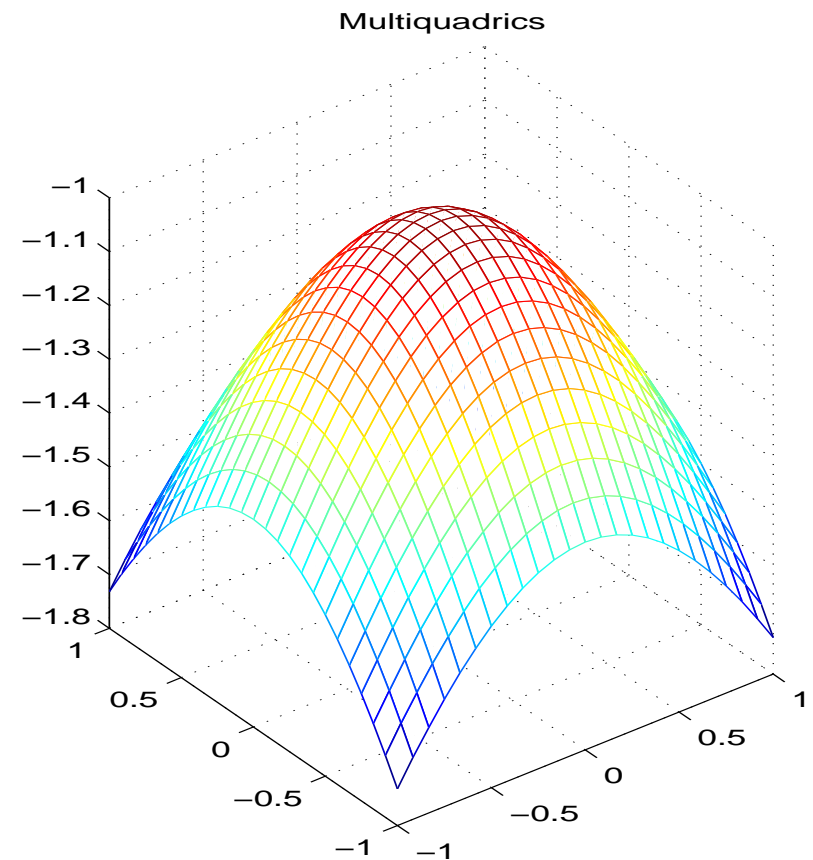
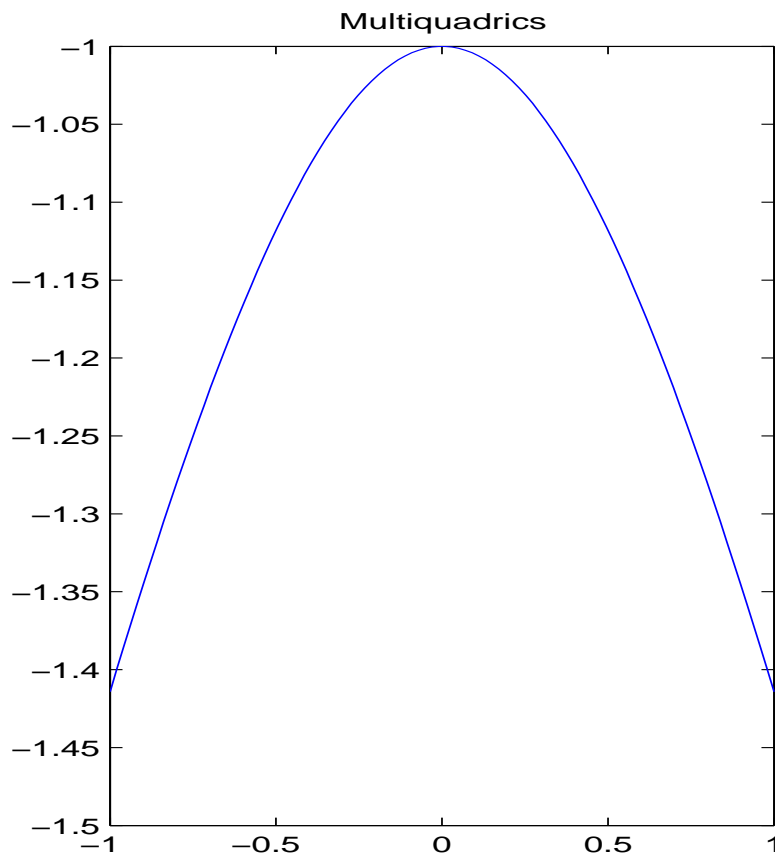
Thin plate spline o surface splines:  $\phi(r) = (-1)^{k+1} r^{2k} \log r$ ,  
CPD di ordine  $m = k + 1$  su ogni  $\mathbb{R}^d$ . (Nei grafici,  $k = 1$ .)





## RBF in 1D e 2D: II

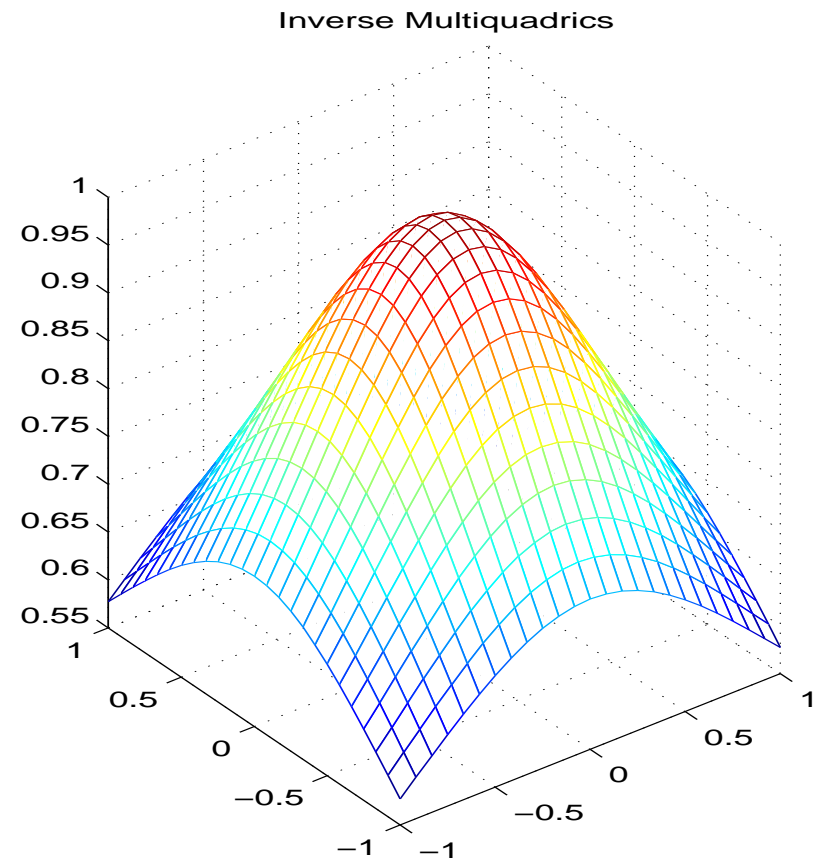
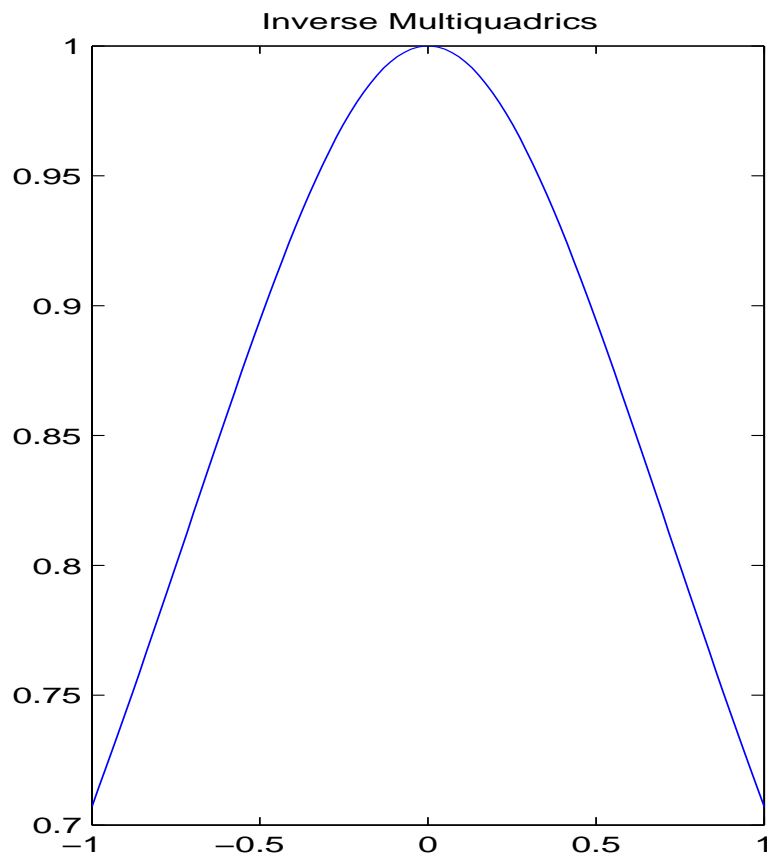
**Multiquadrics:**  $\phi(r) = (-1)^{\lfloor \beta \rfloor} (r^2 + c^2)^\beta$ ,  $c, \beta > 0$ ,  $\beta \notin \mathbb{N}$ , CPD di ordine  $m > \lfloor \beta \rfloor$ , per tutti  $d \geq 1$ . (Nei grafici  $c = 1, \beta = 1/2$ .)





## RBF in 1D e 2D : III

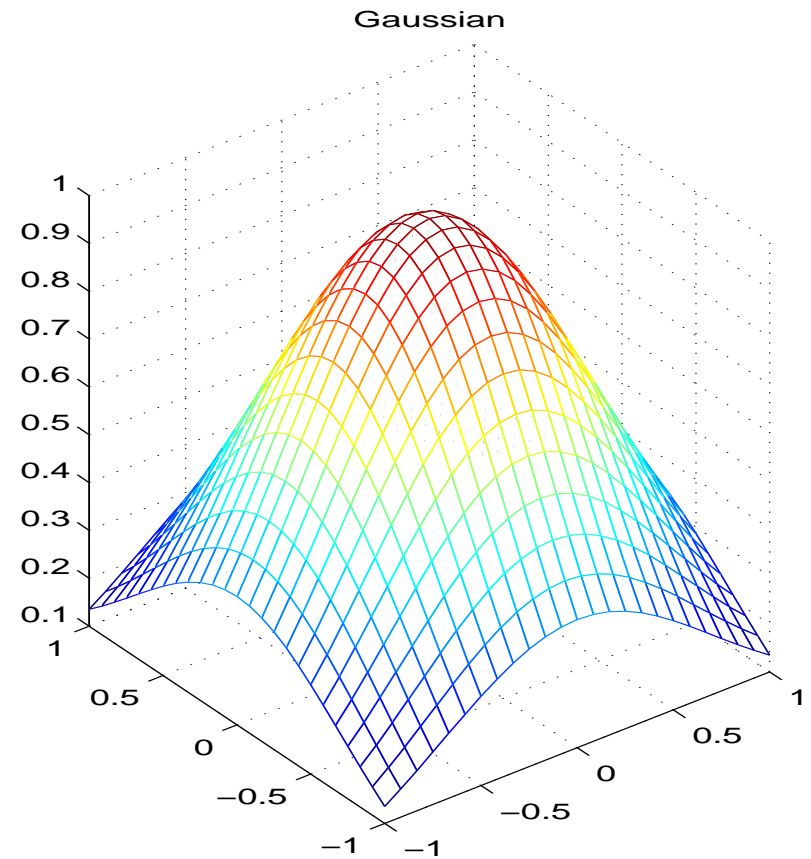
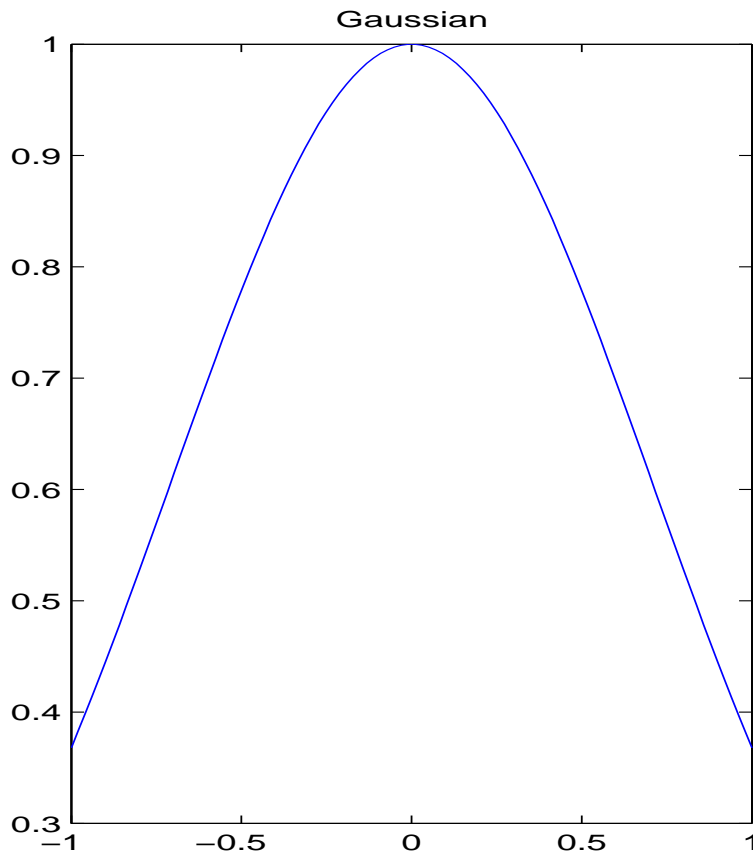
**Inverse multiquadrics:**  $\phi(r) = (r^2 + c^2)^\beta$ ,  $c > 0$ ,  $\beta < 0$ , PD su  $\mathbb{R}^d$  per tutti  $d \geq 1$ . (Nei grafici  $c = 1$ ,  $\beta = -1/2$ )





# RBF in 1D e 2D: IV

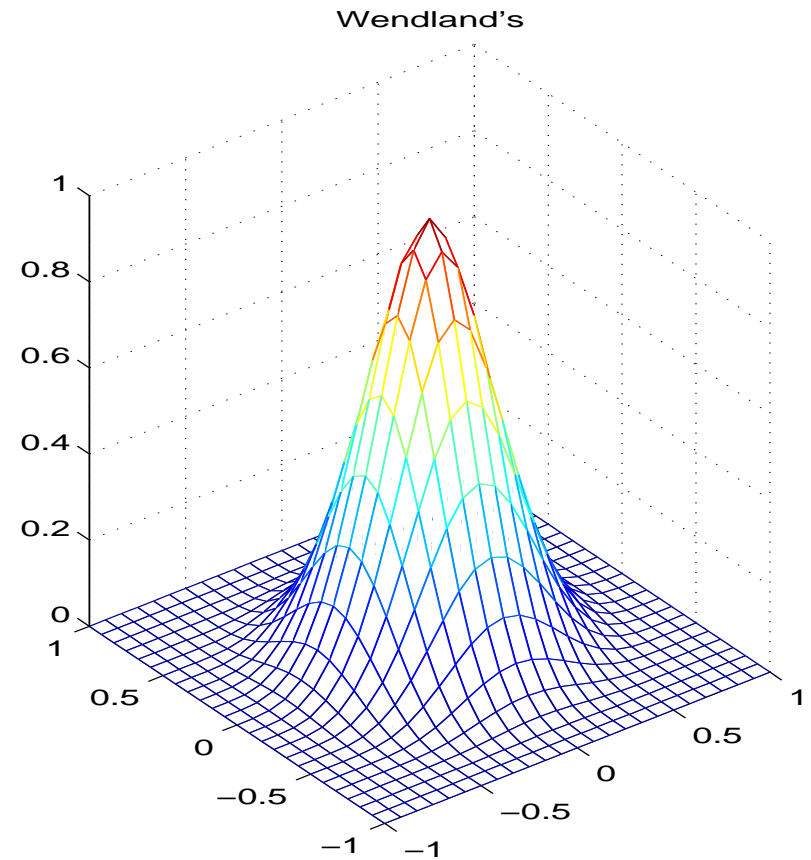
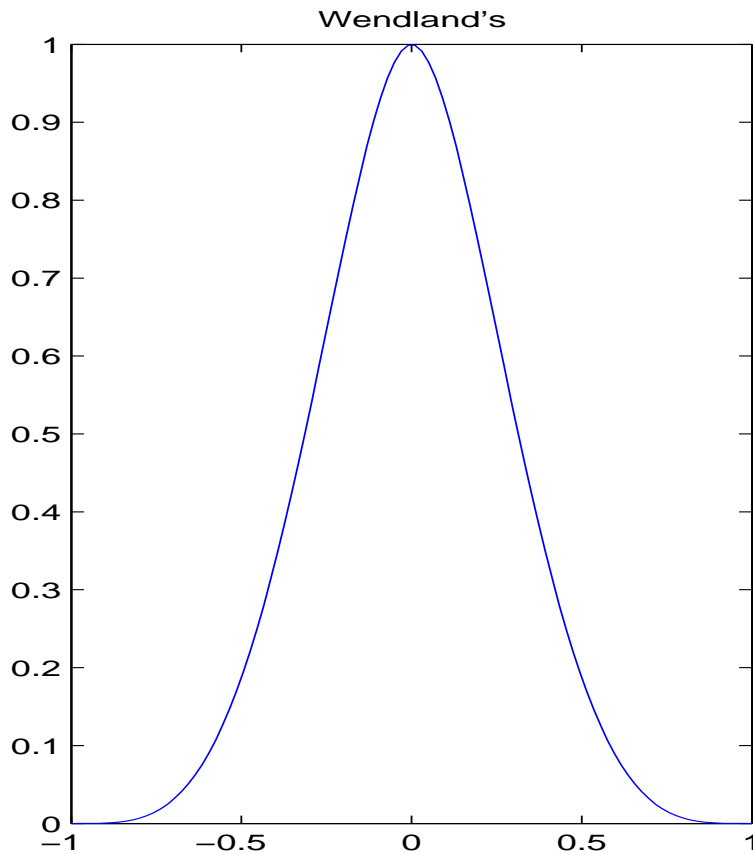
**Gaussian:**  $\phi(r) = \exp(-\alpha r^2)$ ,  $\alpha > 0$  PD su  $\mathbb{R}^d$  per ogni  $d \geq 1$ .  
(Nei grafici,  $\alpha = 1$ .)





## RBF in 1D e 2D: V

4) Wendland:  $\phi(r) = (1 + 4r)(1 - r)_+^4$ , PD, a supporto compatto e  $C^2$  per  $d \leq 3$ .



# Errore d'interpolazione con RBF



$$|f(x) - s_{f,X}(x)| \leq P_{\Phi,X}(x) \|f\|_{\Phi}$$

dove  $P_{\Phi,X}(x)$  è detta **POWER FUNCTION**.

- $P_{\Phi,X}(x)$  è la norma del *funzionale d'errore puntuale*;
- Esistono stime dell'errore che limitano  $P_{\Phi,X}(x)$  in termini della *fill distance* (cf. Wu, Schaback: IMA J. Numer. Anal, 1993):

$$h_{X,\Omega} = \sup_{x \in \Omega} \min_{x_j \in X} \|x - x_j\|_2;$$

- Se  $X \subseteq Y$  allora  $P_{\Phi,X}(x) \geq P_{\Phi,Y}(x), \quad \forall x \in \Omega.$





**THEOREM 1.** (De Marchi, Schaback, Wendland 2003). Let  $\Omega$  closed and bounded in  $\mathbb{R}^d$ , satisfying an interior cone condition and  $\Phi$  has Fourier transform as before. Then, for every  $\alpha > \beta$  there exists a constant  $M_\alpha > 0$  with the following property: if  $\epsilon > 0$  and  $X = \{x_1, \dots, x_N\} \subseteq \Omega$  are given such that

$$\|f - s_{f,X}\|_{L^\infty(\Omega)} \leq \epsilon \|f\|_\Phi, \quad \text{for all } f \in W_2^\beta(\mathbb{R}^d),$$

then the fill distance of  $X$  satisfies

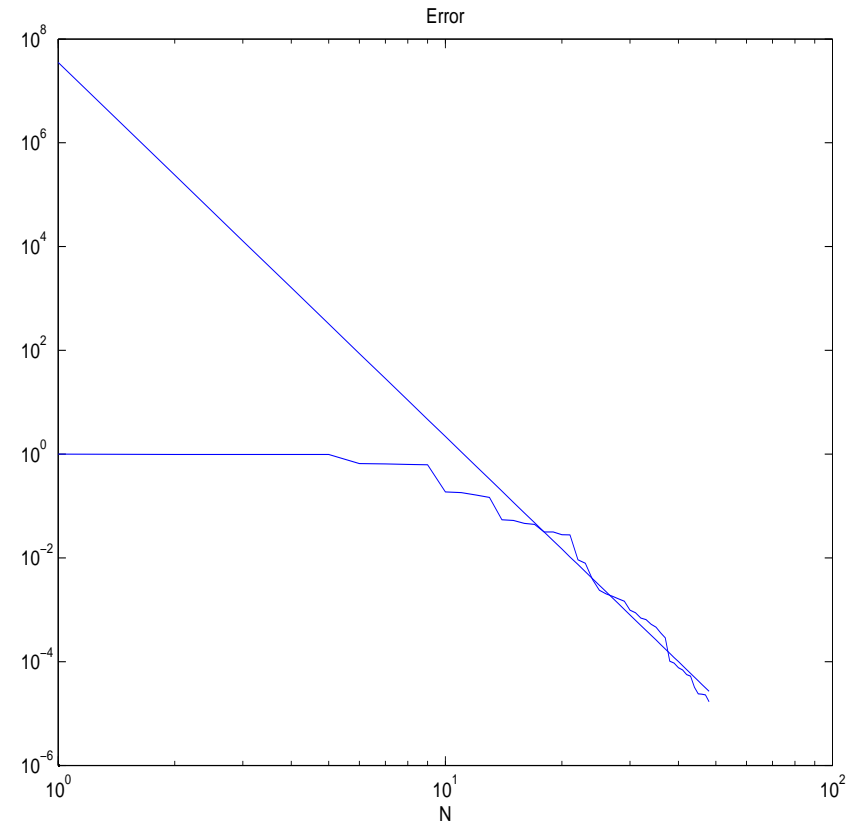
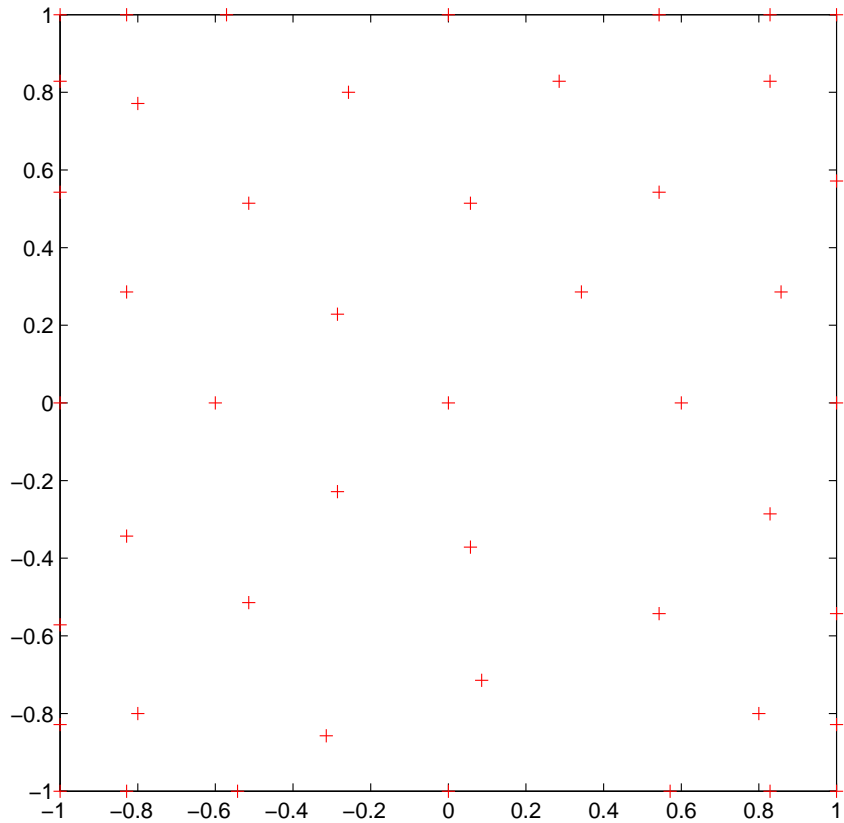
$$h_{X,\Omega} \leq M_\alpha \epsilon^{\frac{1}{\alpha-d/2}}.$$

**Commento:** i punti ottimali di interpolazione sono insiemi tali

che non può esistere una grande regione in  $\Omega$  senza centri



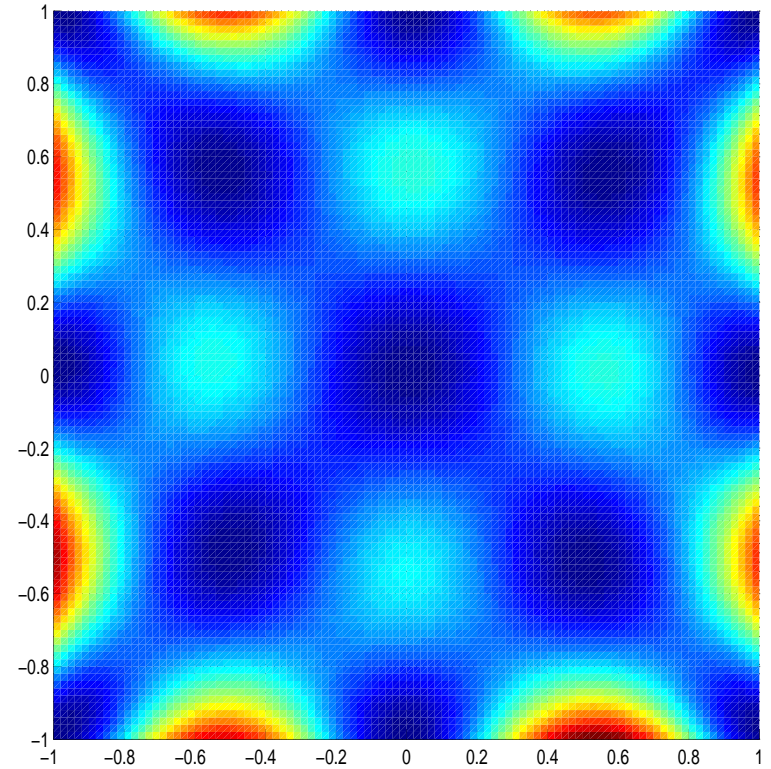
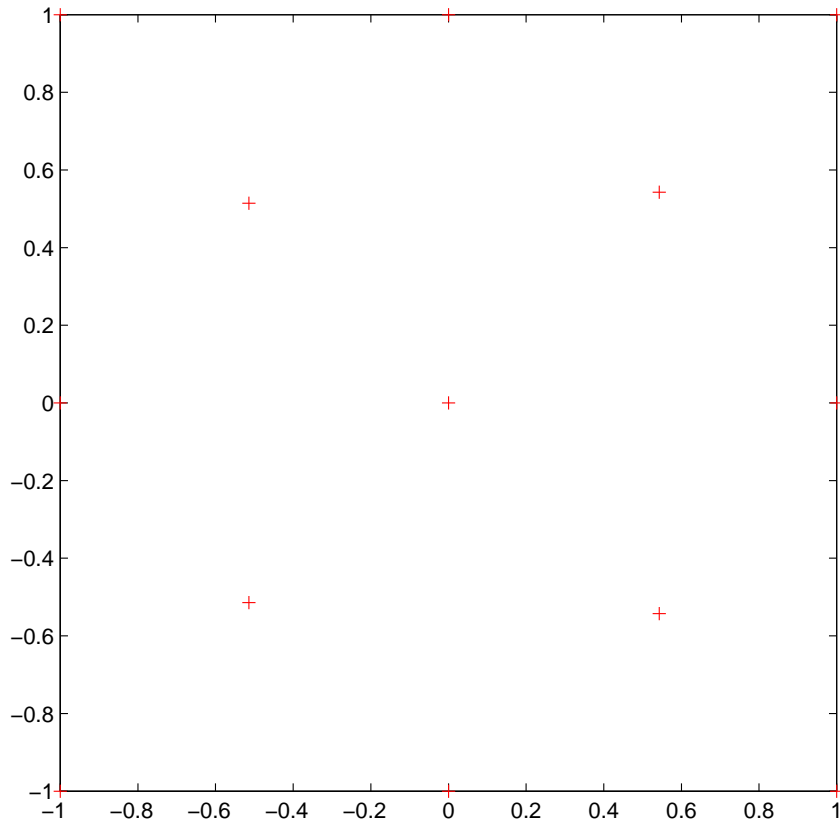
# Esempio: punti ottimali per la gaussiana I



(Sx)  $N=48$  punti ottimali quando  $\eta = 2 \cdot 10^{-5}$  ; (Dx) l'errorr  
come funzione di  $N$ , decade come  $N^{-7.2}$



## Esempio: punti ottimali per la gaussiana II



(Sx)  $N=13$  punti ottimali quando  $\eta = 0.1$ ; (Dx) la **funzione potenza** dove sono assunti i punti di massimo.